

REFERENCES

1. Grigoriev A. V., Lepov V. V. Kontaktno-ustalostnye povrezhdeniya koles lokomotiva, ekspluatiruemogo v usloviyakh Severa [Contact fatigue damage of locomotive tire operated in the north environment] / Proc. of the V Ross. Sci.-Tech. Conf. "Resource and diagnostics of materials and structures." — Yekaterinburg: Izd. IMASh URO RAN, 2011 [in Russian].
2. Ibatullin I. D. Kinetika ustalostnoi povrezhdaemosti i razrusheniya povrkhnostnykh sloev [Kinetics of the Fatigue Damage and Fracture of Surface Layers]. — Samara: Izd. SGTU, 2008. — 387 p. [in Russian].
3. Grigor'ev A. V., Lepov V. V. Mekhanizmy nakopleniya povrezhdenii i razrusheniya materiala oboda zheleznodorozhnogo kolesa pri eksplatacii v usloviyakh Severa [The Mechanisms of Damage Accumulation and Fracture of Railroad Tire during the North Environment Operation] / Vestnik Sev.-Vost. Fed. Univ. 2012. Vol. 9. N 1. P. 79 – 85 [in Russian].
4. Ivanov V. V. Snizhenie udarnogo vozdeistviya na koleso gruzovogo vagona pri prokhozhdenii rel'sovogo styka [Lowering of the strike loading at freight stock wheel during rail joint passing]. Candidate's Thesis. — Omsk, 2011 [in Russian].
5. Rabotnov Yu. N. Izbrannye trudy. Problemy mehaniki deformiruemogo tverdogo tela [Selected Works. The Problems of the Deformable Solid Mechanics]. — Moscow: Nauka, 1991 [in Russian].
6. Spravochnik po soprotivleniyu materialov [Handbook of resistance of materials] / G. Pisarenko (ed.). — Kiev: Naukova Dumka, 1988 [in Russian].
7. Girenko V. S., Kotenkov É. V. Zavisimosti mezhdu udarnoi vyazkost'yu i kriteriyami mehaniki razrusheniya konstruktsionnykh stalei i ikh svarnykh soedinenii [The dependences between the impact toughness and fracture mechanics criteria for structural steels and their weld joints] / Avtomat. Svarka. 1989. N 9. P. 13 – 20 [in Russian].
8. Arkhangelskaya E., Lepov V., Larionov V. The connected model for delayed fracture of damaged media / Phys. Mesomech. 2001. Vol. 4. N 5. P. 75 – 80 [translation from Russian].
9. Lepov V. V. Structural evolution modeling of damage accumulation processes in modern metallic and polymer nanomaterials / World Journal of Engineering. 2012. Vol. 10(5). P. 205 – 212.
10. Chernov V., Ermolaev G., Leontjeva-Smirnova M. Impact toughness of EK-181 ferritic-martensitic chromium (12 %) steel under loading by concentrated bending / Technical Physics. 2010. Vol. 55. N 7. P. 985 – 990 [translation from Russian].
11. Soprotivlenie materialov deformirovaniyu i razrusheniyu. Spravochnoe posobie [Deformation and Fracture Strength of Materials. Handbook]. Part 2 / V. Troshchenko (ed.). — Kiev: Naukova dumka, 1994. — 701 p.
12. Panasyuk V. V. Predel'noe ravnovesie khrupkikh tel s treshchinami [The limit equilibrium of brittle cracked bodies]. — Kiev: Naukova dumka, 1968. — 246 p. [in Russian].
13. Hellan K. Vvedenie v mehaniku razrusheniya [Elementary fracture mechanics]. — Moscow: Mir, 1988. — 364 p. [Russian translation].
14. Barakhtin B., Meshcheryakov Yu., Savenkov G. Statistical characteristics of the multiscale spallation of metal targets during dynamic loading and their relation to the mechanical properties of the materials / Technical Physics. 2010. Vol. 55. N 1. P. 79 – 84 [translation from Russian].

УДК 620.171:621.921.34

ВЛИЯНИЕ УСЛОВИЙ ПОЛУЧЕНИЯ АЛМАЗНО-АБРАЗИВНЫХ КОМПОЗИТОВ С МАТРИЦЕЙ ИЗ ЖЕЛЕЗОУГЛЕРОДИСТЫХ СПЛАВОВ НА ИХ СВОЙСТВА

© С. Н. Махарова, С. П. Яковлева, М. И. Васильева,
А. В. Сивцева, В. Г. Яковлев¹

Статья поступила 15 октября 2014 г.

Исследованы алмазометаллические порошковые смеси, полученные при взрывном прессовании с последующей термообработкой компактов. Показано, что энергия взрыва, используемая на стадии формования порошков, дает возможность получать высокоэффективные алмазосодержащие материалы, в том числе на широко распространенных железоуглеродистых связках. Это обусловлено спецификой взрывного воздействия, в результате которого происходит активация материала связки, проявляющаяся при дальнейшем высокотемпературном нагреве в ее интенсивном упрочнении. Выявлено, что ударные волны создают термобарические условия, позволяющие обеспечить лучшую сохранность алмазной компоненты, чем при традиционных методах спекания. Получены образцы абразивных алмазных композитов с износостойкостью, соответствующей уровню износостойкости промышленных алмазных карандашей, но при вдвое меньшем расходе алмазного сырья.

Ключевые слова: алмазный порошок; алмазометаллический композит; взрывное прессование; структура; упрочнение; износостойкость.

Одной из самых прогрессивных технологий механической обработки является обработка алмазными инструментами, рабочие элементы которых чаще всего

выполнены из композиционных материалов. Несмотря на успехи в разработке алмазосодержащих композитов проблема создания достаточно универсальных высокотехнологичных абразивов с улучшенными эксплуатационными свойствами остается актуальной. Другой аспект проблемы — использование в ка-

¹ Институт физико-технических проблем Севера им. В. П. Ларионова СО РАН, г. Якутск, Россия;
e-mail: spyakovleva@yandex.ru, smmchar@yandex.ru

честве связки порошков относительно дешевых и распространенных материалов, в частности, сплавов на основе железа. Однако инструмент на металлических связках изготавливается в основном при высоких температурах, отрицательно влияющих на прочностные свойства алмаза. Поэтому требуется разработка новых технологий, позволяющих изготавливать алмазометаллические композиты (АМК) на форсированных режимах для лучшего сохранения алмазной компоненты.

Принципиально новые перспективы для создания АМК открывает использование энергии взрыва [1]. Возможности взрывного прессования (ВП) связаны с экстремальностью процессов, когда в результате практически мгновенного высокointенсивного воздействия на порошки происходят их уплотнение, нагрев и деформирование. Кроме того, ударные волны позволяют создать термобарические условия для упругопластического деформирования алмаза [2], что способствует лучшей сохранности алмазной компоненты.

В настоящее время фундаментальные основы получения порошковых материалов из-за действия целого ряда трудно учитываемых факторов недостаточно разработаны даже для традиционных методов порошковой металлургии; большинство практических задач решается эмпирически. В связи с этим необходимо дальнейшее изучение явлений и процессов, происходящих при синтезе порошковых композитов. Цель данной работы — комплексное исследование воздействия ударных волн и последующей термообработки на компоненты и свойства АМК, получаемых ВП смесей порошков железоуглеродистых сплавов и природного алмаза.

При разработке АМК можно выделить три основные группы задач: 1) выявление процессов формирования, взаимосвязи состава, структуры и свойств матрицы; 2) изучение влияния формирующих технологических воздействий на алмазные частицы (их сохранность); 3) анализ характера деструкции композитов при эксплуатационных нагрузках.

Известно, что износостойкие структуры должны обладать повышенной прочностью, твердостью, а также иметь некоторый запас пластичности. Высокая степень уплотнения при получении порошковых материалов достигается за счет пластической деформации частиц. Пластическое уплотнение является одним из условий их хорошей консолидации, а в алмазосодержащих смесях обеспечивает механическое закрепление алмазных зерен. Вместе с тем пластическая деформация должна быть ограниченной с целью минимизации образования внутренних напряжений и исчерпания пластичности. Это противоречивое требование к пластичности композита должно удовлетворяться и в процессе его контактного взаимодействия с обрабатываемой поверхностью: хорошее сопротивление износу обеспечивается высокой прочностью, а сопро-

тивление образованию микротрещин и их залечивание — пластичностью. Компромиссное решение, очевидно, может быть достигнуто сочетанием в составе матрицы порошков двух типов: с высокой и низкой твердостью. Исходя из этого, в работе использовали смесь порошков, относящихся к разным классам сплавов на основе железа: ПХ18Н9Т (относительно мягкий порошок нержавеющей стали) и ПР-ФБХ6 (износостойкий порошок повышенной твердости).

Для взрывного прессования была использована цилиндрическая схема нагружения; наружный диаметр ампулы для засыпки шихты 15 мм. Взрывчатое вещество — аммонит 6ЖВ. Применили три режима прессования, различающиеся по мощности воздействия, для чего варьировали диаметр $D_{\text{вв}}$ засыпки взрывчатого вещества, который составил 40, 45, 50 мм.

В начальных экспериментах по предварительной отработке режимов получения достаточно монолитных компактов было проведено ВП двухкомпонентных смесей порошков связующего материала без добавления алмаза. В смесях меняли процентное соотношение компонент: содержание более мягкого порошка в них составляло 20, 30 и 40 %. Далее образцы подвергали кратковременной (10 мин) термической обработке при 600, 800 и 900 °С. Серия таких исследований позволила выбрать в качестве наиболее перспективных для получения АМК режимы прессования при $D_{\text{вв}}$, равном 45 и 50 мм. Алмазный порошок А7К80 500/400 вводили в шихту из расчета получения 100 % их содержания в беспористом компакте.

В работе использовали порошки природного алмаза, в связи с чем были рассмотрены некоторые характеристики алмазных частиц, способные повлиять на изменение их прочности при технологических воздействиях. С этой целью проведен ИК-спектральный анализ нескольких кристаллов из исходного алмазного сырья. Съемку спектров поглощения осуществляли с помощью инфракрасного Фурье-спектрометра ФТ-801 в диапазоне частот от 800 до 4000 см^{-1} с разрешением 4 см^{-1} .

Оценку пористости точечным методом А. А. Глаголева и анализ структуры проводили с помощью оптического микроскопа «Неофот-21». Микротвердость определяли на микротвердомере ПМТ-3 при нагрузке 0,5 Н (измеряли микротвердость частиц каждой из компонент матрицы).

Для гранулометрического анализа и исследования статической прочности алмазных частиц в исходном состоянии и после рекуперации из АМК применяли стандартные методики по ГОСТ 9206–80. В этих экспериментах использовали однокомпонентные связки различной прочности. Кроме того, в рекуперированных алмазных частицах исследовали наличие неалмазного углерода (спектры поглощения сняты на ИК-микроскопе Centaurus, совмещенном с ИК-Фурье спектрометром Avatar-370, ThermoElectron).

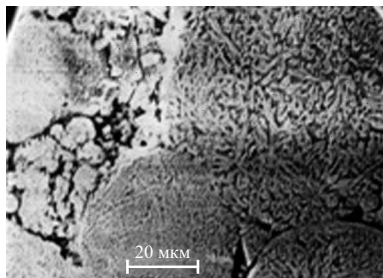


Рис. 1. Микроструктура спрессованной взрывом при $D_{\text{вв}} = 50$ мм двухкомпонентной матрицы состава 40 % ПХ18Н9Т + 60 % ПГ-ФБХ6

Износостойкость АМК определяли на машине трения СМЦ-2. Для сравнения были испытаны алмазные правящие карандаши аналогичного диаметра, изготовленные промышленным способом по ГОСТ 607–80: тип 04, исполнение А, весовая группа алмазов 500/400 кар, объемная доля алмазного сырья 5 % (в ~2,5 раза выше, чем у экспериментальных АМК).

Торцевые части испытуемых образцов и карандашей истирались плоской поверхностью равномерно вращающегося круга из электрокорунда при постоянной осевой нагрузке. После прохождения равных промежутков пути трения определяли их весовой износ. Скорости скольжения в условиях испытаний составляли 0,61 и 0,87 м/с, постоянная осевая нагрузка — 5 Н.

Структуру и поверхности износа композитов исследовали методом растровой электронной микроскопии (прибор JSM-6480 LV, JEOL).

Структура и характеристики образцов из связующих материалов. Микроструктура прессовок с двухкомпонентной матрицей представляет собой конгломерат из твердых недеформированных частиц порошка ПГ-ФБХ6 и деформированных частиц мягкой составляющей ПХ18Н9Т (рис. 1). Образцы различаются содержанием пор. Сплошность образцов улучшается с повышением мощности прессования и с увеличением содержания мягкой компоненты. Повышение мощности заряда взрывчатого вещества оказывает меньшее влияние на пористость, чем содержание легкодеформируемой компоненты: наиболь-

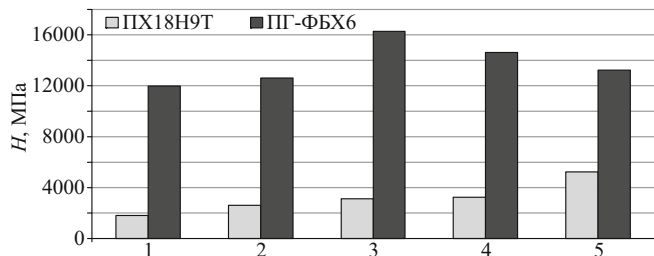


Рис. 2. Влияние режимов обработки на микротвердость порошковых компонент: 1 — исходное состояние; 2 — после взрывного прессования (ВП); 3 — ВП + 600 °С; 4 — ВП + 800 °С; 5 — ВП + 900 °С

шее значение пористости 49 % получено для образца с 20 % ПХ18Н9Т при $D_{\text{вв}} = 50$ мм; наименьшее значение пористости 11 % у образца с 40 % ПХ18Н9Т при том же $D_{\text{вв}}$.

В табл. 1 приведены результаты измерения микротвердости H_{50} частиц связующего материала в исходном состоянии и после ВП, а также значения ее среднеквадратичного отклонения (в числителе — абсолютное значение, в знаменателе — процент от общего значения). По представленным данным можно судить об однородности получающихся структур. В целом происходит упрочнение обеих составляющих связующего материала. Большее упрочнение мягкой компоненты обусловлено ее большей деформацией. Уровень $\sigma_{\text{ск}}$ микротвердости твердой фазы свидетельствует о некоторой стабилизации процесса прессования при увеличении содержания мягкой фазы до 40 %. Очевидно, в этом случае повышается ее передающая и демпфирующая роль при прохождении ударных волн. Интересно также снижение уровня $\sigma_{\text{ск}}$ микротвердости ПГ-ФБХ6 в результате взрывного упрочнения, из чего следует вывод об улучшении однородности тонкой структуры, что благоприятно влияет на сопротивление материала разрушению.

Последующая термообработка в целом приводит к росту микротвердости (рис. 2). Вследствие высокой энергетической активности деформированного ударными волнами металла, способствующей ускорению диффузионных процессов, и сильного взаимодействия атомов углерода с дефектами кристаллической решет-

Таблица 1. Микротвердость компонент матрицы и ее среднеквадратичное отклонение

Состав матрицы (содержание ПХ18Н9Т), %	$D_{\text{вв}}$, мм	ПХ18Н9Т		ПГ-ФБХ6	
		H_{50} , МПа	$\sigma_{\text{ск}}$, МПа/%	H_{50} , МПа	$\sigma_{\text{ск}}$, МПа/%
—	0 (исх)	1820	19/1,0	11980	185/1,5
20	45	2690	54/2,0	12920	123/1,0
20	50	2020	50/2,5	11370	142/1,2
30	40	2170	31/1,4	11870	144/1,2
30	45	2720	52/1,9	11110	82/0,7
30	50	3090	49/1,6	12780	195/1,5
40	40	2810	54/1,9	12720	160/1,3
40	45	2610	39/1,5	12610	164/1,3
40	50	3070	50/1,6	13330	157/1,2

ки при нагреве происходит процесс его перераспределения с образованием мелкодисперсных карбидов; при этом интенсивно формируется субзеренная структура. Взрывотермическое упрочнение металлов подробно рассмотрено в монографии [3]. В ней показана высокая интенсивность процессов полигонизации структуры и распада карбидной фазы при нагреве сталей после деформации ударными волнами. Особенно заметна специфика взрывотермического упрочнения выявлена для пластичной компоненты; значительные изменения микротвердости свидетельствуют о существенных изменениях структуры, начинающихся уже с 600 °С. Некоторое разупрочнение частиц порошка ПГ-ФБХ6 при термической обработке образцов связано с коагуляцией карбидов, а также свидетельствует о начале рекристаллизационных процессов. Для последующих экспериментов по получению алмазосодержащих компактов наиболее целесообразным был признан режим прессования при $D_{\text{вв}} = 50$ мм (по сочетанию уровней упрочнения обеих компонент).

Исследование алмазной составляющей композитов. Как уже отмечалось, одним из факторов, которые могут повлиять на изменение прочности алмазной компоненты при технологических воздействиях, является ее структурно-примесный состав. Рассмотрена случайная выборка пяти кристаллов порошка природного алмаза, представленная полуопрозрачными и непрозрачными зернами октаэдрического габитуса с обликом, близким к изометричному. Цвет кристаллов соответствует цвету большинства промышленных алмазов: их окраска имеет разные оттенки серого и коричневого цветов. Рельеф граней четырех кристаллов — ступенчатый, весьма выраженный. Пятый кристалл, черно-коричневый, окатан и имеет слабовыраженный ступенчатый рельеф.

Считается, что черный и серый цвета определяются присутствием графита, карбида кремния, содержание и распределение которых является фактором, влияющим на эксплуатационные характеристики изготавливаемых из них инструментальных материалов.

В частицах алмаза серого цвета могут быть участки лонгдейлита, влияющего на анизотропию физико-механических свойств. Коричневую окраску кристаллов алмаза обычно связывают с их пластической деформацией [4]. В обоих случаях результат технологических воздействий на алмаз при синтезе алмазосодержащего композита будет зависеть от этих свойств.

Особое внимание следует уделить наиболее распространенной примеси в алмазе — азоту (агрегатным комплексам азота), так как его концентрация и форма присутствия в кристаллической решетке влияют на прочность и термостойкость алмазного зерна [5]. По современным представлениям азотные центры А содержат два атома азота в соседних узлах решетки, дефект В является агрегатом четырех атомов азота, расположенных вокруг вакансии. Проведен анализ состояния агрегированности азотной примеси

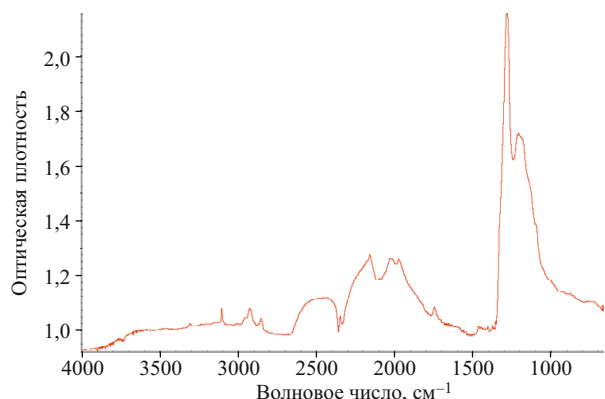


Рис. 3. Основной тип ИК-спектров рекуперированных алмазных частиц

(табл. 2). Коэффициенты поглощения для азотных центров агрегации А, В1, В2 рассчитывали относительно коэффициента поглощения решетки ($\nu = 2160 \text{ см}^{-1}$) $\alpha = 12,8 \text{ см}^{-1}$.

В табл. 2 $C[\text{A} + \text{B}1]$ — концентрация азотного агрегированного комплекса с учетом вклада вакансий; $C[\text{A}]$ — концентрация А-составляющей; $C[\text{B}1]$ — концентрация В1-составляющей. Видно, что в рассматриваемых кристаллах технического алмаза азот пребывает в трех агрегированных состояниях — А, В1, В2. Показатель степени его агрегированности $B1 = B1/(A + B1)$ варьирует в пределах от 36 до 60 %.

Обработка высокими температурами и давлениями может изменять концентрацию азота, форму его присутствия в решетке, приводить к появлению изолированных примесей азота (С-центров), что оказывает влияние на свойства алмаза. В1-составляющая предопределяет склонность к образованию линейных, плоскостных или винтовых дислокаций, что напрямую сказывается на физико-механических свойствах алмаза.

На рис. 3 показан типичный спектр поглощения алмазов, рекуперированных из полученных АМК (для рекуперации алмазных частиц прессовки опускали в царскую водку, которая растворяла металлический связующий материал). Видно, что имеются полосы поглощения при $1010, 1100, 1175, 1215, 1282, 1378 \text{ см}^{-1}$. Азотные центры А вызывают в однофеновой области ИК-спектров поглощения систему полос $480, 1100, 1215$ и 1282 см^{-1} ; дефект В1 — систему

Таблица 2. Концентрация азотного агрегированного комплекса А + В1

Номер кристалла	$C[\text{A}], \text{at. ppm}$	$C[\text{B}1], \text{at. ppm}$	$C[\text{A} + \text{B}1], \text{at. ppm}$	$B1, \%$
1	148,5	122,0	270,5	45
2	167,4	176,5	343,9	51
3	66,0	97,7	163,7	60
4	162,5	92,0	254,5	36
5	169,0	108,6	277,6	39

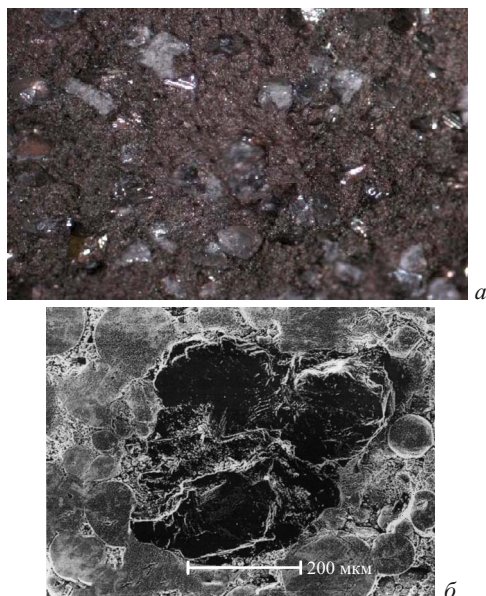


Рис. 4. Макроповерхность излома АМК (а, $\times 15$) и участок излома с алмазной частицей (б, $\times 157$)

полос поглощения $1010, 1100, 1175, 1332 \text{ см}^{-1}$. Центры В2 имеют интенсивность пика на $1359 - 1378 \text{ см}^{-1}$.

Судя по наличию полос поглощения при указанных волновых числах в исследованных кристаллах алмазов преобладает центр А ($1100, 1215, 1282 \text{ см}^{-1}$), но имеются также центры В1 ($1010, 1100, 1175 \text{ см}^{-1}$) и В2 (1378 см^{-1}).

Важным является то, что в нагруженных ударной волной алмазных частицах не были выявлены характерные для графита полосы поглощения при 1580 см^{-1} и характерные для аморфного углерода полосы поглощения при $1500 - 1550 \text{ см}^{-1}$. Отсутствие неалмазного углерода (графитизации) свидетельствует о хорошей сохранности алмазной компоненты при термобарических условиях выбранных режимов получения АМК.

При ВП неизбежно изменение зернового состава и прочности алмазной компоненты. Проведен анализ влияния твердости связующего материала на уровень сохранности частиц алмаза. Для этого получены две группы образцов с однокомпонентной матрицей из порошков различной твердости: ПХ18Н9Т (микротвердость $1800 - 2200 \text{ МПа}$) и ПР-М6Ф3 (микротвердость $5900 - 7100 \text{ МПа}$). Для ВП в случае связки ПХ18Н9Т использовали аммонит 6ЖВ, а в случае связки ПР-М6Ф3 — более мощный гранулотол.

Приняты следующие обозначения исследованных до и после воздействия ударных волн парамет-

ров алмазных частиц (по ГОСТ 9206–80): d_{cp} , мкм — средний размер зерна; u , % — доля изометрических зерен; O_{ϕ} , % — доля основной фракции; σ, H — показатель прочности алмазного шлифпорошка.

В результате ВП подготовленных смесей порошков были получены более или менее монолитные прессовки. При больших значениях D_{bb} слоя взрывчатого вещества зерна алмаза в прессовках распределены достаточно равномерно. Рекуперированные частицы не овализованы и имеют хорошо развитые режущие грани, что благоприятно влияет на их абразивные свойства.

Как следует из данных табл. 3, дробление алмазного порошка менее значительно в случае использования связки с большей твердостью; изменение среднего размера частиц алмаза колеблется в пределах от 4 до 18 %. Однозначной зависимости между геометрическими параметрами образовавшихся при дроблении осколков и мощностью заряда не наблюдается. При использовании «мягкой» связки ПХ18Н9Т увеличение мощности прессования не привело к уменьшению среднего размера и количества изометрических зерен, но сократило долю основной фракции с 43 до 29 %. Это означает, что при $D_{\text{bb}} = 40 \text{ мм}$ разрушаются преимущественно зерна мелкой фракции, образующие осколки с меньшей, чем исходная, прочностью, а в более крупных зернах могут зарождаться микротрещины, также понижающие прочность. Повышение мощности заряда приводит к дроблению больших частиц с образованием относительно крупных осколков. Поэтому показатель прочности в этом случае несколько выше. Снижение дробимости мелких фракций при $D_{\text{bb}} = 50 \text{ мм}$ может быть объяснено изменением процессов консолидации частиц матричного материала и их взаимодействия с алмазными зернами, что требует отдельного изучения.

Особый интерес представляет факт незначительного изменения характеристик алмазного порошка после ВП со связкой ПРМ6Ф3. Средний размер зерна уменьшается на 4 %, показатель прочности — на 10 %, а доля основной фракции сохраняется почти неизменной, в то время как при традиционных способах спекания снижение этих характеристик достигает 30 % и более.

Износостойкость и контактное разрушение АМК при абразивном износе. Важной характеристикой алмазосодержащих абразивов является алмазоудержание, так как быстрое удаление алмазных частиц приводит к быстрому изнашиванию матрицы и снижению износостойкости. На рис. 4 показан макроизлом

Таблица 3. Характеристики алмазного порошка А7К80 500/400 до и после воздействия ударных волн

Материал	Исходное состояние				$D_{\text{bb}} = 40 \text{ мм}$				$D_{\text{bb}} = 50 \text{ мм}$			
	d_{cp} , мкм	u , %	O_{ϕ} , %	σ, H	d_{cp} , мкм	u , %	O_{ϕ} , %	σ, H	d_{cp} , мкм	u , %	O_{ϕ} , %	σ, H
А7К80	490	81	53	118	—	—	—	—	—	—	—	—
А7К80 + ПХ18Н9Т	—	—	—	—	400	63	43	82	405	65	29	85
А7К80 + ПРМ6Ф3	—	—	—	—	410	73	40	89	470	68	52	106

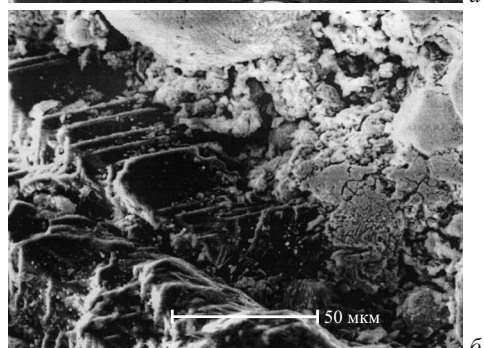
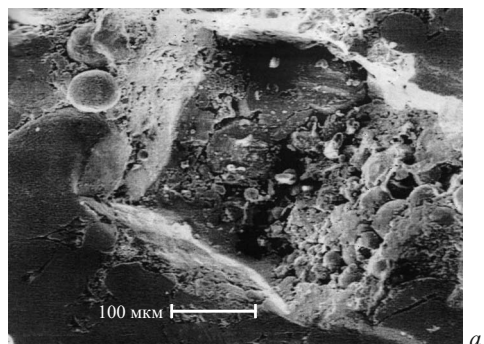
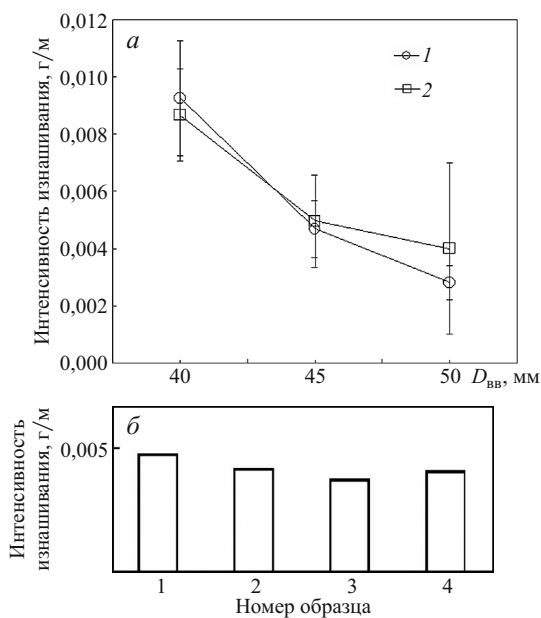


Рис. 6. Микромеханизмы удаления алмазных частиц с поверхности износа АМК: а — вырыв (АМК, полученный ВП), $\times 689$; б — транскристаллитный скол (АМК, полученный комбинированием ВП и ТО), $\times 661$

одного из полученных АМК и увеличенное изображение участка с алмазным зерном. Видно, что при ВП между частицами порошков на контактных границах образуются достаточно прочные связи: матричный материал плотно прилегает к алмазу, на контакте алмаз — матрица отсутствуют поры, микропустоты и зазоры. Алмазоудержание в матрице осуществляется за счет механического и адгезионного закреплений.

Для определения износостойкости экспериментальных АМК, полученных ВП и термообработкой, проведены испытания на износ. Износостойкость сравнивали по интенсивности весового изнашивания усреднением результатов 7–8 испытаний. Для оценки погрешности вычисляли доверительные интервалы для уровней вероятности 0,8 и 0,9. Как видно на рис. 5, а, увеличение диаметра заряда взрывчатого вещества приводит к снижению интенсивности изнашивания АМК. Очевидно, это связано с ростом твердости матрицы, а также указывает на хорошую сохранность алмазной компоненты даже при достаточно мощном ударно-волновом воздействии.

Рис. 6 показывает важную роль термообработки для улучшения алмазоудержания, что проявляется в благоприятном изменении механизма разрушения и удалении алмазных частиц при износе: превалирование микротрецин по границе алмаз — матрица уступает место транскристаллитному раскалыванию алмазных зерен (соответственно, их удаление по механизму вырыва сменяется на выкрашивание). Это способствует повышению эксплуатационных характеристик АМК благодаря улучшению алмазоудержа-

ния и вследствие образования новых режущих граней в алмазных частицах.

Наилучшие результаты по износостойкости получены для образцов, спрессованных при максимальном диаметре засыпки взрывчатого вещества, равном 50 мм [6]. Проведенные сравнительные испытания показали (рис. 5, б), что износостойкость этих образцов соответствует износостойкости промышленно выпускаемых алмазных карандашей, но при расходе алмазного порошка, вдвое меньшем (объемная доля алмазов в АМК — 2 %, в карандашах — 5 %). Повышением содержания твердой компоненты ПГ-ФБХ6 в связующем материале и более плотным прессованием композита можно достигнуть лучшей износостойкости при меньшем содержании алмазного сырья.

На основании проведенных исследований можно сделать следующие выводы.

1. Высокоскоростная деформация в процессе формовки порошков железоуглеродистых сплавов взрывным прессованием создает условия для интенсивного упрочнения полученного материала при последующей термообработке (твердость повышается в 2–3 раза), причем использование двухкомпонентных матриц из порошков с различной твердостью (легко-деформируемого и прочного) может обеспечить выполнение одного из наиболее труднодостижимых требований к абразивным материалам — одновременное сочетание твердости и пластичности.

2. Термообработка повышает алмазоудержание и износостойкость АМК, что проявляется в благоприятном изменении механизмов разрушения и удаления

алмазных частиц: превалирование микротрещин по границе алмаз-матрица уступает место транскристаллитному раскалыванию алмазных зерен (соответственно, их удаление вырывом сменяется на выкращивание).

3. Термобарические условия при выбранных режимах ВП не привели к овализации алмазных частиц и их графитизации (в ИК-спектрах отсутствуют полосы поглощения, свойственные неалмазному углероду). Использование в составе матрицы порошков повышенной твердости дает возможность обеспечить лучшую сохранность алмазной составляющей, чем при традиционных способах спекания.

4. Получены опытные образцы АМК с износостойкостью, соответствующей уровню износостойкости промышленных алмазных карандашей, но при более чем двойной экономии алмазного сырья.

ЛИТЕРАТУРА

1. Крупин А. В., Соловьев В. Я. и др. Обработка металлов взрывом. — М.: Металлургия, 1991. — 495 с.
2. Павловский И. Н. Ударное сжатие алмаза / ФТТ. 1971. Т. 13. № 3. С. 893 – 895.
3. Слепцов О. И., Михайлов В. Е., Петушкин В. Г., Яковлев Г. П., Яковleva С. П. Повышение прочности сварных конструкций для Севера. — Новосибирск: Наука, 1989. — 223 с.

4. Зайцева Т. М., Гуркина Г. А. Природа серо-дымчатой и коричневой окраски кристаллов алмаза / Минералогический журнал. 1986. № 3. С. 48 – 52.
5. Гаргин В. Г. Влияние включений в алмазах на их прочность / Сверхтвёрдые материалы. 1983. № 4. С. 27 – 30.
6. Пат. 2484940 Российской Федерации. Способ изготовления алмазометаллического композита методом взрывного прессования / Яковлева С. П., Махарова С. Н., Васильева М. И., Винокуров Г. Г.; Заявл. 31.05.11; Опубл. 20.06.13.

REFERENCES

1. Krupin A. V., Solov'ev V. Ya. i dr. Obrabotka metallov vzryvom [Treatment of metals by explosion]. Moscow: Metallurgiya, 1991. — 495 p. [in Russian].
2. Pavlovskii I. N. Udarnoe szhatie almaza [Shock compression of diamond] / Fiz. Tverdogo Tela. 1971. Vol. 13. N 3. P. 893 – 895 [in Russian].
3. Sleptsov O. I., Mikhailov V. E., Petushkov V. G., Yakovlev G. P., Yakovleva S. P. Povyshenie prochnosti svarynykh konstruktsii dlya Severa [The increasing durability of welded structures for the North]. — Novosibirsk: Nauka, 1989. — 223 p. [in Russian].
4. Zaitseva T. M., Gurkina G. A. Priroda sero-dymchatoi i korichnevoi okraski kristallov almaza [Nature of the gray-smoky and brown colouring of diamond crystals] / Mineral. Zh. 1986. N 3. P. 48 – 52 [in Russian].
5. Gargin V. G. Vliyanie vkluchenii v almazakh na ikh prochnost' [Influence of inclusions in diamonds on their strength] / Sverkhtv. Mater. 1983. N 4. P. 27 – 30 [in Russian].
6. RF Pat. No. 2484940. Sposob izgotovleniya almazometallicheskogo kompozita metodom vzryvnogo pressovaniya [Method of making of diamond-metallic composite by explosive pressing] / Yakovleva S. P., Makharova S. N., Vasil'eva M. I., Vinokurov G. G. Appl. 20.06.2013 [in Russian].

УДК 620.17:669.15:620.186.8

СВЯЗЬ ДЕФОРМАЦИОННОГО РЕЛЬЕФА И СВОЙСТВ ФЕРРИТНО-ПЕРЛИТНОЙ СТАЛИ С НАНОСУБМИКРОННОЙ СТРУКТУРОЙ¹

© С. П. Яковлева, С. Н. Махарова²

Статья поступила 15 октября 2014 г.

Исследованы микростроение и прочность низколегированной стали после объемного наноструктурирования с применением режима «теплого» (при 300 – 500 °C) равноканального углового прессования (РКУП). Выявлено связь наносубмикронной структуры, обеспечивающей высоко прочное состояние ферритно-перлитных сталей, с эволюцией шероховатости деформационного рельефа и его микростроением. Установлено, что измельчение структурных составляющих стали создает условия для самоорганизации структуры при последующем растяжении, в результате которой локализация деформации происходит на более поздних стадиях, чем в материале в крупнозернистом состоянии.

Ключевые слова: низколегированная сталь; наноструктурирование; равноканальное угловое прессование; механические свойства; деформационный рельеф; шероховатость.

Структурированию металлов методами интенсивной пластической деформации, в частности равноканаль-

ным угловым прессованием (РКУП) [1 – 4], в последние годы уделяется достаточно большое внимание. Однако несмотря на многочисленные исследования недостаточно ясными остаются поведение таких материалов при различных внешних нагрузках, а также рольnano- и субмикронных частиц в формировании их свойств. Обычно основное внимание уделяется процессам трансформации структуры при РКУП и

¹ Работа выполнена при финансовой поддержке программы фундаментальных исследований Президиума РАН «Разработка методов получения химических веществ и создание новых материалов», проект 8.22.

² Институт физико-технических проблем Севера им. В. П. Ларионова СО РАН, г. Якутск, Россия;
e-mail: spyakovleva@yandex.ru, smmchar@yandex.ru